

**Partie A - Action de l'eau sur le volet**

1.a) Voir figure ci-contre

1.b) Torseur en I des actions de l'eau sur (5)

$$\vec{Q}_{\text{eau} \rightarrow 5} = \int_{-\frac{L}{2}}^{\frac{L}{2}} \int_h^{6h} \rho g z \, dz \, dx \, \vec{y}_v = \rho g L \frac{35h^2}{2} \vec{y}_v$$

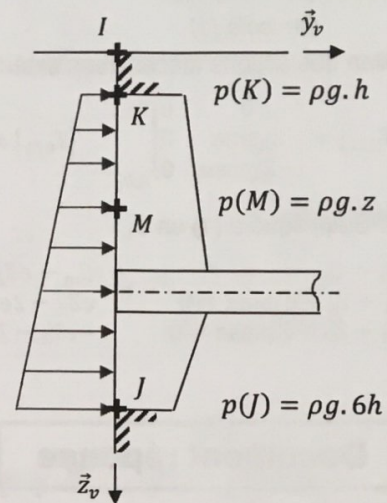
$$d\vec{M}(I, \text{eau} \rightarrow 5) = \vec{r} \wedge d\vec{F} = (x\vec{x}_0 + z\vec{z}_v) \wedge \rho g z \, dz \, dx \, \vec{y}_v$$

$$\vec{M}(I, \text{eau} \rightarrow 5) = - \int_{-\frac{L}{2}}^{\frac{L}{2}} \int_h^{6h} \rho g z^2 \, dz \, dx \, \vec{x}_0 = -\rho g L \frac{215h^3}{3} \vec{x}_0$$

1.c) Centre de poussée

$$\vec{M}(Q, \text{eau} \rightarrow 5) = \vec{0} = \vec{M}(I, \text{eau} \rightarrow 5) + z_Q \vec{z}_v \wedge \vec{Q}_{\text{eau} \rightarrow 5}$$

$$z_Q = \frac{215}{3} \frac{2}{35} h \approx 4,1h \text{ et } x_Q = 0 \text{ par symétrie du champ de pression}$$



**Partie B - Transmission d'efforts**

2.a) Justification de la démarche d'isolement :

Pour l'isolement de (5), il y a 4 inconnues ( $Y_D, Z_D, Y_E$  et  $Z_E$ ) pour 3 équations en problème plan. Il est donc pertinent d'isoler d'abord (4) soumis à 2 glisseurs soit  $Y_E = 0$ .

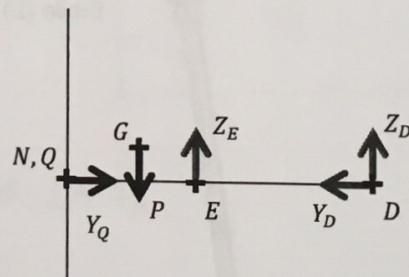
Pour l'isolement de (3), on compte 4 inconnues (directions et intensités de  $\vec{B}_{2/3}$  et  $\vec{C}_{0/3}$ ). Pour réaliser une résolution graphique, il est nécessaire préalablement d'isoler (2) soumis à 2 glisseurs pour déterminer la direction de l'effort en B soit suivant (AB).

2.b) Statique analytique en problème plan

On isole (5) :

Bilan des actions mécaniques extérieures à (5) - voir figure ci-contre  
PFS appliqué à (5) en D :

$$\begin{aligned} Y_D - Y_Q &= 0 \\ Z_D + Z_E - P &= 0 \\ aZ_E - bP &= 0 \end{aligned} \quad \text{soit} \quad \begin{aligned} Y_D &= Y_Q \\ Z_D &= P - Z_E = \left(1 - \frac{b}{a}\right)P \\ Z_E &= \frac{b}{a}P \end{aligned}$$



2.c) Application numérique :

$$Y_D = 1400N \quad Z_D = -176N \quad Z_E = 776N$$

2.d) Statique graphique

On isole (3) :

Bilan des actions mécaniques extérieures à (3) - voir tableau ci-contre  
PFS appliqué à (3) : C'est un solide soumis à 3 forces concourantes en équilibre statique si et seulement si elles le sont en un même point et leur somme vectorielle est nulle.

Forces	Direction	Intensité
$\vec{D}_{5/3}$	$\rightarrow$	1400N
$\vec{B}_{2/3}$	$\nearrow_{(AB)}$	1340N
$\vec{C}_{0/3}$	$\swarrow$	2170N

On isole (2) à nouveau (cf. question 2.a) :

Bilan des actions mécaniques extérieures à (2) - voir tableau ci-contre  
PFS appliqué à (2) : C'est un solide soumis à 2 forces en équilibre statique si et seulement si elles sont directement opposées et de même intensité.

Forces	Direction	Intensité
$\vec{B}_{3/2}$	$\swarrow_{(AB)}$	1340N
$\vec{A}_{1/2}$	$\nearrow_{(AB)}$	1340N

**Partie C - Action sur le plateau moteur**

**3) Statique analytique**

On isole (1) :

Bilan des actions mécaniques extérieures à (1)

$$\{T_{2/1}\} = \begin{Bmatrix} 0 & 0 \\ Z_A \sin \alpha & 0 \\ -Z_A \cos \alpha & 0 \end{Bmatrix}_{A, b_1} \quad \{T_{0/1}\} = \begin{Bmatrix} X_1 & 0 \\ Y_1 & 0 \\ Z_1 & 0 \end{Bmatrix}_{O_1, b_1} \quad \{T'_{0/1}\} = \begin{Bmatrix} 0 & 0 \\ Y_2 & 0 \\ Z_2 & 0 \end{Bmatrix}_{O_2, b_1} \quad \{T_{m/1}\} = \begin{Bmatrix} 0 & C_m \\ 0 & 0 \\ 0 & 0 \end{Bmatrix}_{VP \in \mathbb{R}^3, b_1}$$

PFS appliqué à (1) en  $O_1$

$$\begin{aligned} X_1 &= 0 & C_m - eZ_A \sin \alpha &= 0 \\ Y_1 + Y_2 + Z_A \sin \alpha &= 0 & eZ_2 - 2eZ_A \cos \alpha &= 0 \\ Z_1 + Z_2 - Z_A \cos \alpha &= 0 & -eY_2 - 2eZ_A \sin \alpha &= 0 \end{aligned}$$

soit

$X_1 = 0$	$C_m = eZ_A \sin \alpha$
$Y_1 = Z_A \sin \alpha$	$Z_2 = 2Z_A \cos \alpha$
$Z_1 = -Z_A \cos \alpha$	$Y_2 = -2Z_A \sin \alpha$

**Document réponse**

